

Étude et conception d'opérateurs arithmétiques

Habilitation à diriger les recherches
Université Rennes 1

Arnaud Tisserand

CNRS, IRISA, équipe-projet CAIRN

6 juillet 2010



- Introduction
- Résumé des activités
- Sélection de travaux :
 - ▶ Architecture reconfigurable pour l'arithmétique en ligne
 - ▶ Multiplication par des constantes
 - ▶ Opérateurs arithmétiques sécurisés et bibliothèque arithmétique pour la cryptographie
- Conclusion et perspectives

Arnaud Tisserand, CNRS-IRISA, HDR: *Étude et conception d'opérateurs arithmétiques*

2/39

Exemples d'opérateurs arithmétiques (1/3)

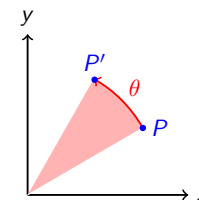
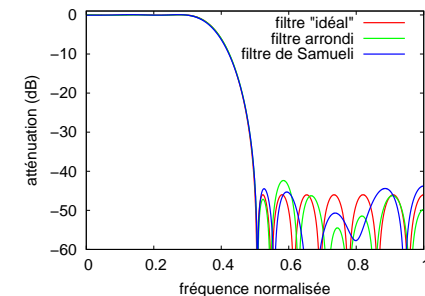
```

1#include <stdio.h>
2#include <math.h>
3
4typedef float func_t(float x);
5
6float integrate(func_t *f, float a, float b, int n)
7{
8    int i; float x = a; float s = 0.0; float h = (b-a)/(n-1);
9    for (i=0 ; i<n ; i++) { s += f(x)*h; x += h; }
10   return s;
11}
12
13float f(float x) { return 1.0/x; }
14
15int main (void)
16{
17   float r, rth=0.69314718055994530942;
18
19   r = integrate((func_t*)f, 1.0, 2.0, 1000);
20
21   printf("r=%f      rth=%f      err=%f\n", r, rth, fabs(rth-r));
22   return 0;
23}

```

Exemples d'opérateurs arithmétiques (2/3)

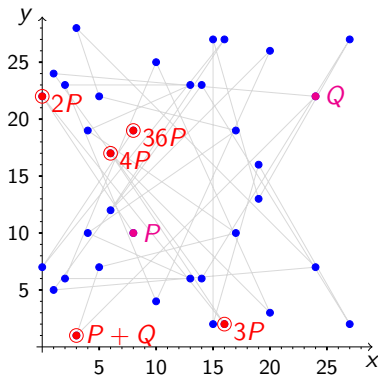
$$y[n] = \sum_{i=0}^N c_i \times x[n-i]$$



$$\begin{pmatrix} x' \\ y' \end{pmatrix} = \begin{pmatrix} \cos \theta & -\sin \theta \\ \sin \theta & \cos \theta \end{pmatrix} \begin{pmatrix} x \\ y \end{pmatrix}$$

Exemples d'opérateurs arithmétiques (3/3)

Opérations sur la courbe elliptique $y^2 = x^3 + 4x + 20$ sur le corps fini \mathbb{F}_{29}



addition de 2 points : $P + Q$
 doublement d'un point : $[2]P$

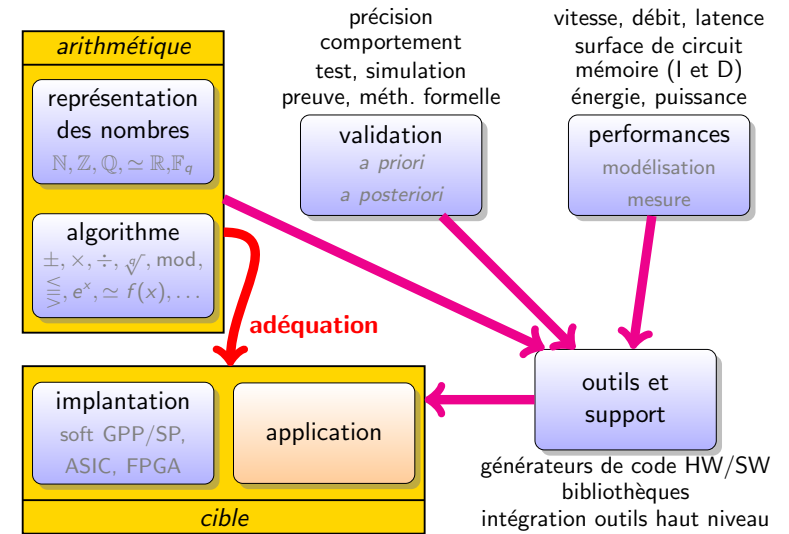
résultat : le point (x_3, y_3) avec
 $x_3 = \lambda^2 - x_1 - x_2, \quad y_3 = \lambda(x_1 - x_3) - y_1$

$$\lambda = \begin{cases} \frac{y_2 - y_1}{x_2 - x_1} & \text{si } P \neq \pm Q \\ \frac{3x_1^2 + a}{2y_1} & \text{si } P = Q \end{cases}$$

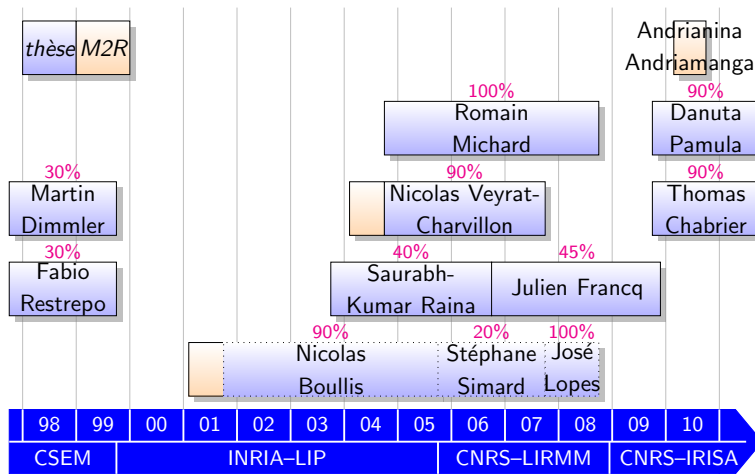
opérations sur le corps fini : \pm, \times, x^{-1}
 $P = (8, 10), Q = (24, 22)$

multiplication scalaire ($k \in \mathbb{N}$, grand) :
 $[k]P = \underbrace{P + P + \dots + P}_{k \text{ fois}}$

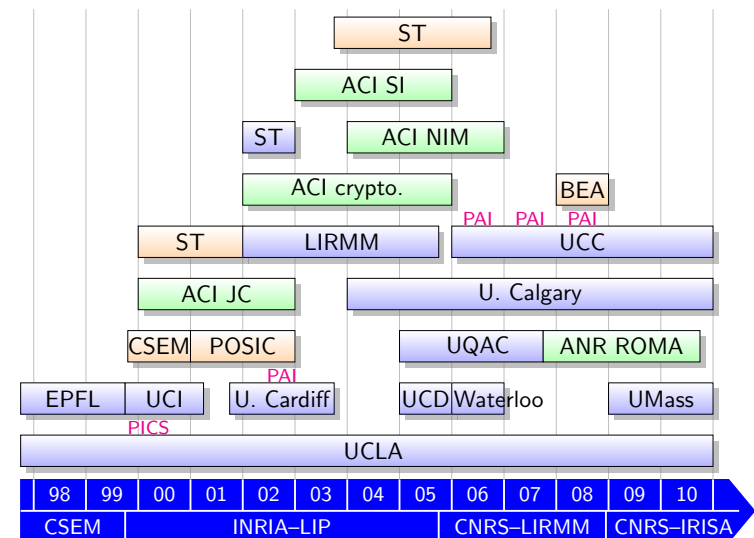
Arithmétique des ordinateurs, une « définition »



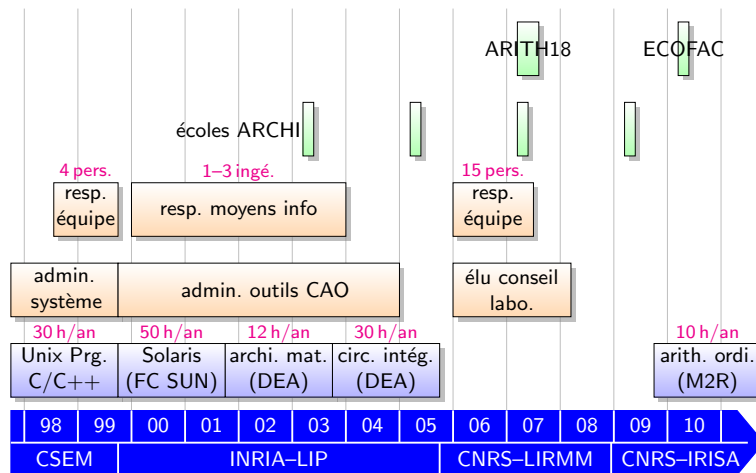
Résumé des activités : encadrement



Résumé des activités : collaborations



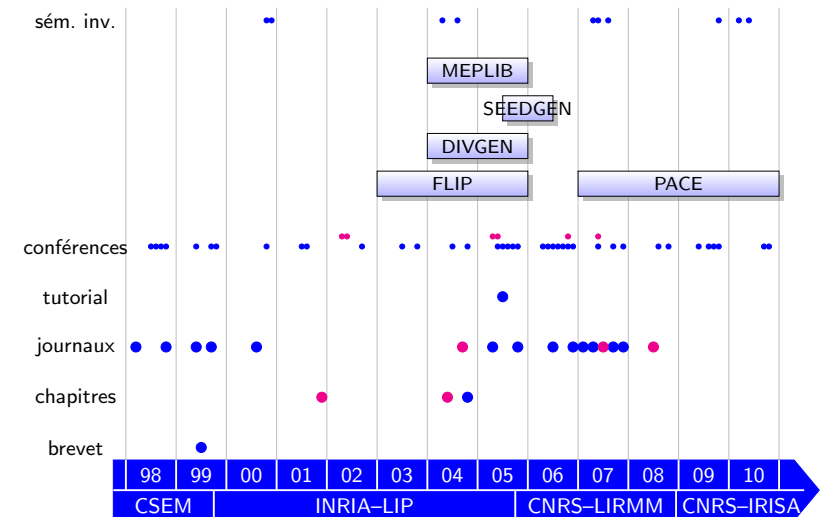
Résumé des activités : enseignement & animation



Arnaud Tisserand, CNRS-IRISA. HDR: Étude et conception d'opérateurs arithmétiques

9/39

Résumé des activités : production scientifique



Arnaud Tisserand, CNRS-IRISA. HDR: Étude et conception d'opérateurs arithmétiques

10/39

Thèmes de recherche abordés

- Arithmétique en ligne
- Architectures reconfigurables pour le calcul : FPOP et FPPA
- Opérateurs spécifiques pour FPGA
- Multiplication : par des constantes, tronquée, x^n ($n \in \mathbb{N}$)
- Division : par une constante, asynchrone, générateur automatique
- Approximation de fonctions : tables ou polynômes
- Bibliothèques flottantes : CoolRISC et FLIP (ST200)
- Arithmétique à basse consommation d'énergie : opérateurs, modélisation, évaluation, GPU
- Opérateurs arithmétiques pour la cryptographie : corps finis, hachage, sécurisation contre les attaques, bibliothèque PACE
- Outils : générateurs, programmation, gestion de la précision
- Arithmétique par estimation
- Générateurs vraiment aléatoires

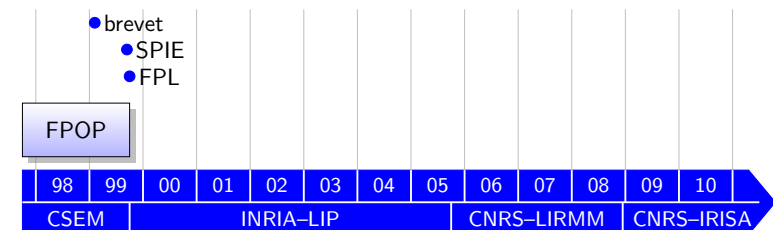
Arnaud Tisserand, CNRS-IRISA. HDR: Étude et conception d'opérateurs arithmétiques

11/39

Architecture reconfigurable pour l'arithmétique en ligne

Généralités :

- FPOP : Field Programmable On-line oPerators
- Travail avec P. Marchal, P. Nussbaum et C. Piguet
- Cible : applications embarquées de contrôle numérique



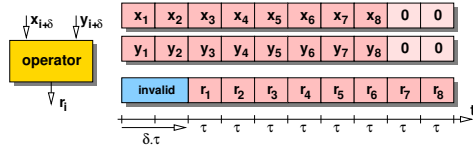
Arnaud Tisserand, CNRS-IRISA. HDR: Étude et conception d'opérateurs arithmétiques

12/39

Arithmétique en ligne (1/2)

Arithmétique en ligne :

- arithmétique **série**
- poids **forts** en tête



Avantages :

- faible surface
- parallélisme (pipeline)
- haut débit
- circuit régulier
- interconnexion simple
- précision variable possible assez simplement

Inconvénients :

- opérations lentes
- synchronisation lourde
- peu (pas) d'outil

Origine : M. Ercegovac dans les années 70

Arithmétique en ligne (2/2)

Représentation **redondante** des nombres :

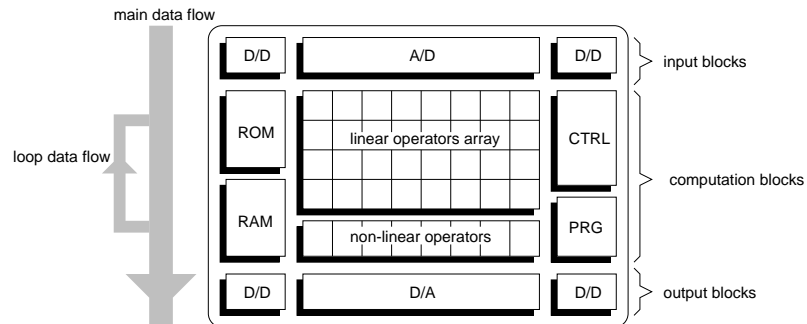
$$X = \sum_{i=-m}^n x_i \beta^i \quad x_i \in \mathcal{D}$$

- toutes les opérations avec les poids forts en tête
- certaines opérations à délai en ligne δ (latence) variable (p. ex. \leq)
- bases utilisées :
 - ▶ base $\beta = 2$: chiffres dans $\mathcal{D}_{bs} = \{-1, 0, 1\}$ (*borrow-save*)
 - ▶ base $\beta = 4$: chiffres dans $\mathcal{D}_{4,3} \{-3, \dots, 3\}$ ou $\mathcal{D}_{4,2} \{-2, \dots, 2\}$

Caractéristiques des principales opérations :

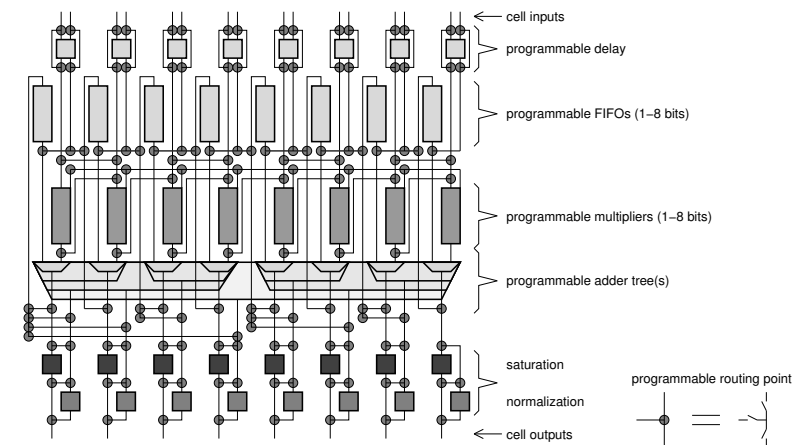
opération	\pm	\times	\div	$\sqrt{\quad}$
surface	$\mathcal{O}(1)$	$\mathcal{O}(n)$	$\mathcal{O}(n)$	$\mathcal{O}(n)$
temps calcul	$\mathcal{O}(n)$	$\mathcal{O}(n)$	$\mathcal{O}(n)$	$\mathcal{O}(n)$

FPOP : architecture générale

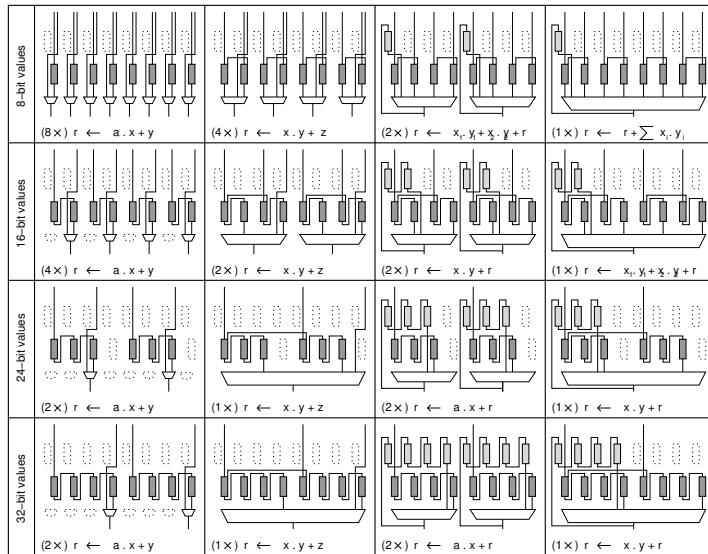


- blocs d'opérations linéaires $c \cdot x$ et configuration pour :
 - ▶ $c \cdot x + y, \sum_{i=0}^k c_k \cdot x_k$
 - ▶ multiplication $x \cdot y, x \cdot y + z$
- autres opérations : $x \div y, 1/x, \sqrt{x}$ et approx. fonction $f(x) \simeq p(x)$

FPOP : cellule linéaire



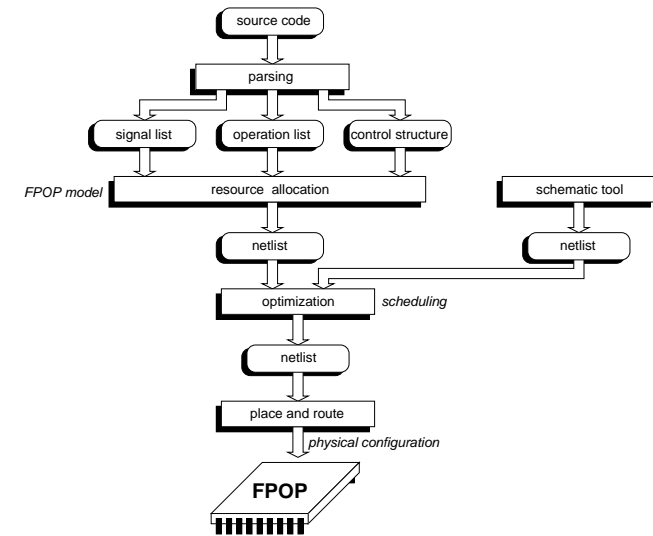
FPOP : configurations d'une cellule linéaire



Arnaud Tisserand, CNRS-IRISA. HDR: Étude et conception d'opérateurs arithmétiques

17/39

FPOP : flot de programmation



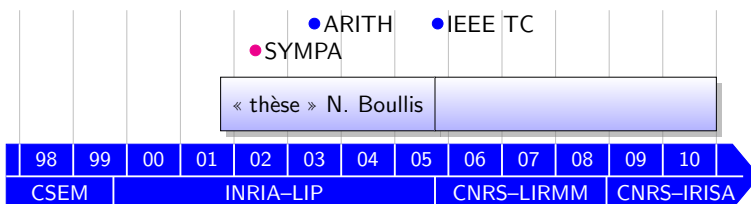
Arnaud Tisserand, CNRS-IRISA. HDR: Étude et conception d'opérateurs arithmétiques

18/39

Multiplication par des constantes

Généralités :

- Travail commencé avec la thèse de N. Boullis
- Générateur automatique de code VHDL très optimisé
- Résultats utilisés dans :
 - ▶ d'autres travaux et publications (p. ex. approx. de fonctions, TNS)
 - ▶ des collaborations : UQAC, U. Calgary
 - ▶ des aides ponctuelles



Arnaud Tisserand, CNRS-IRISA. HDR: Étude et conception d'opérateurs arithmétiques

19/39

Multiplication par des constantes : problème

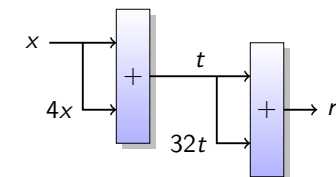
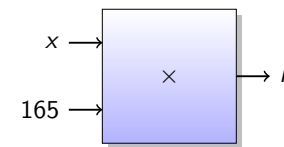
Idée générale : **remplacer** les multiplications par des constantes par une suite d'**additions** (ou soustractions) et de **décalages**

Buts :

- augmenter la vitesse
- réduire la taille et la consommation

Exemple simple : $r = 165 \cdot x$

$165 = (10100101)_2$



$$t = x + 4 \cdot x$$

$$t = x + x \ll 2$$

$$r = t + 32 \cdot t$$

$$r = r + r \ll 5$$

Arnaud Tisserand, CNRS-IRISA. HDR: Étude et conception d'opérateurs arithmétiques

20/39

Multiplication par des constantes : variantes

Multiplication par une seule constante :

$$r = c \cdot x$$

Multiplication par un vecteur constant :

$$\begin{aligned} r_1 &= c_1 \cdot x \\ r_2 &= c_2 \cdot x \\ &\vdots \\ r_n &= c_n \cdot x \end{aligned}$$

Multiplication par une matrice constante :

$$\begin{aligned} r_1 &= c_{1,1} \cdot x_1 + c_{1,2} \cdot x_2 + \dots + c_{1,m} \cdot x_m \\ r_2 &= c_{2,1} \cdot x_1 + c_{2,2} \cdot x_2 + \dots + c_{2,m} \cdot x_m \\ &\vdots \\ r_n &= c_{n,1} \cdot x_1 + c_{n,2} \cdot x_2 + \dots + c_{n,m} \cdot x_m \end{aligned}$$

Aspects temporels :

$$y[n] = \sum_{i=0}^N c_i \cdot x[n-i]$$

Multiplication par des constantes : algorithmes

Méthodes : recodages, recherche avec des fonctions de coût (p. ex. Bernstein), **recherche de motifs**, algorithmes génétiques...

Exemple : $p = 111463 \cdot x$

algo.	$p = 111463 \cdot x =$	#op.
direct	$(x \ll 16) + (x \ll 15) + (x \ll 13) + (x \ll 12) + (x \ll 9) + (x \ll 8) + (x \ll 6) + (x \ll 5) + (x \ll 2) + (x \ll 1) + x$	10 ±
CSD	$(x \ll 17) - (x \ll 14) - (x \ll 12) + (x \ll 10) - (x \ll 7) - (x \ll 5) + (x \ll 3) - x$	7 ±
Bernstein	$((((t_2 \ll 2) + x) \ll 3) - x$ où $t_1 = (((x \ll 3) - x) \ll 2) - x$ $t_2 = t_1 \ll 7 + t_1$	5 ±
notre algo.	$(t_2 \ll 12) + (t_2 \ll 5) + t_1$ où $t_1 = (x \ll 3) - x$ $t_2 = (t_1 \ll 2) - x$	4 ±

CSD *canonical signed digit*, $111463 = 11011001101100111_2 = 100\bar{1}0\bar{1}0100\bar{1}0\bar{1}0100\bar{1}_2$

Multiplication par des constantes : résultats

opérateur	init.	[1]	[2]	notre
DCT 8b	300	94	73	56
DCT 12b	368	100	84	70
DCT 16b	521	129	114	89
DCT 24b	789	212	—	119

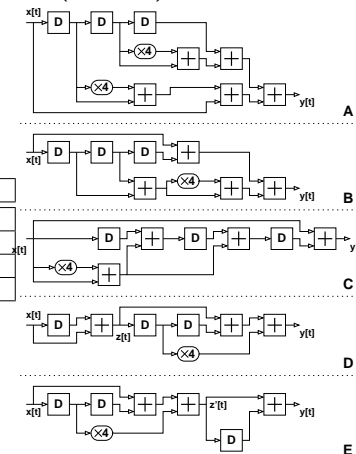
Codes correcteurs :

opérateur	init.	[1]	[2]	notre
8 × 8 Had.	56	24	—	24
(16, 11) R.-M.	61	43	31	31
(15, 7) BCH	72	48	47	44
(24, 12, 8) Golay	76	—	47	45

Filtres :

opérateur	init.	[22]	notre
8 bits	35	32	24
16 bits	72	70	46

FIR (1, 5, 5, 1)



Multiplication par des constantes : bilan

Résultats :

- optimisation de multiplications par des matrices constantes
- approche calcul exact
- générateur automatique de code VHDL très optimisé
- gains importants dans certains cas :
 - ▶ × 2 à 3 en vitesse
 - ▶ ÷ 2 à 5 en surface
 - ▶ ÷ 2 à 3 en consommation
- utilisé dans plusieurs études

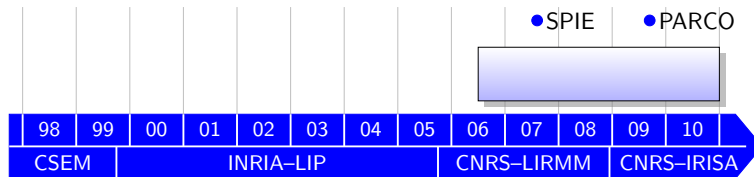
Travaux en cours et à venir :

- gestion de la précision (calcul approché)
- extension aux corps finis
- ajout contrainte compromis vitesse-surface

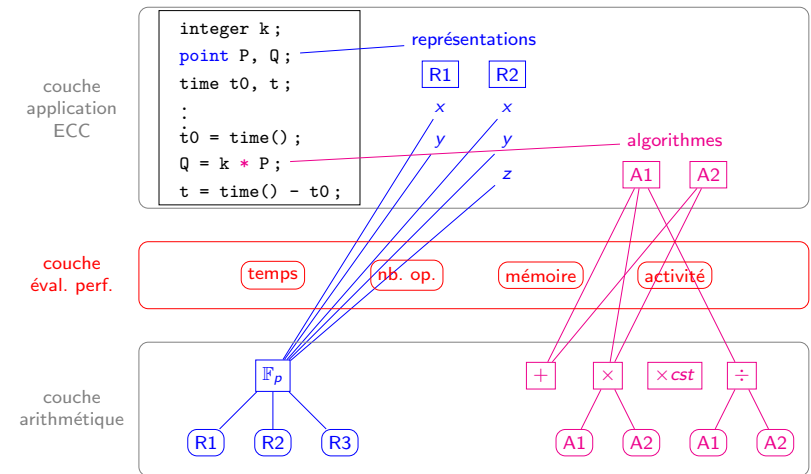
Bibliothèque PACE

Généralités :

- PACE = *Prototyping Arithmetic for Crypto Easily*
- Collaboration ARITH-LIRMM : P. Giorgi, L. Imbert et T. Izard
- Bibliothèque C++, licence LGPL, *template metaprogramming* :
généricité + spécialisation pour les performances (*traits*)
- Motivations :
 - ▶ support mathématique limité dans les langages et processeurs
 - ▶ comparaison de plusieurs solutions très difficile
 - ▶ temps pour coder toutes les solutions à tester
 - ▶ besoin d'un support de test uniforme et précis
 - ▶ validation rapide de nouvelles idées (algorithmes et représentations)



Bibliothèque PACE : architecture



Bibliothèque PACE : couche arithmétique (1/2)

```
integer<100> p = 29;
typedef gfp<100, p> fp_29;
fp_29 x = 17, y = 20, z;
z = x + y; assert(z == 8);
cout << x << " + " << y << " = " << z << endl;
z = x - y; assert(z == 26);
cout << x << " - " << y << " = " << z << endl;
z = x * y; assert(z == 21);
cout << x << " * " << y << " = " << z << endl;
z = inv(x); assert(z == 12);
cout << x << " ^(-1) = " << z << endl;
```

produit

```
17 + 20 = 8
17 - 20 = 26
17 * 20 = 21
17 ^(-1) = 12
```

Bibliothèque PACE : couche arithmétique (2/2)

Buts :

- support de **plusieurs** représentations et algorithmes
- **petites modifications** dans le code
- comparaison de **plusieurs** solutions

Exemple :

```
integer<600> a, b, c;
integer<600, RP_integer_GMP> a2, b2, c2;
...
c = a + b;
c2 = a2 + b2;
assert(c == c2);
```

État actuel :

- grands entiers : représentations multiples, opérations : \pm , \times , 2 , \div , $\sqrt{}$, $^{-1}$, *mod*, *invmod*, *powmod*, *cmp*, *bit*, *popcount*...
- éléments de \mathbb{F}_p (p quelconque) : représentations multiples, opérations : \pm , \times , 2 , $^{-1}$, $=$, *bit*, *popcount*...

Futur : \mathbb{F}_p avec des p particuliers, \mathbb{F}_2 et extensions, polynômes

Bibliothèque PACE : couche application ECC

```
integer<100> p = 29; typedef gfp<100, p> fp_29;
curve<fp_29> E(4, 20);
typedef point_aff<fp_29, E> point;
E.info();
point P1(5,22); point P2(16,27);
cout << "P1 = " << P1 << " P2 = " << P2 << endl;
point P3 = P1 + P2;
cout << "P1 + P2 = " << P3 << endl;
point P4 = 2 * P1;
cout << "[2] P1 = " << P4 << endl;
```

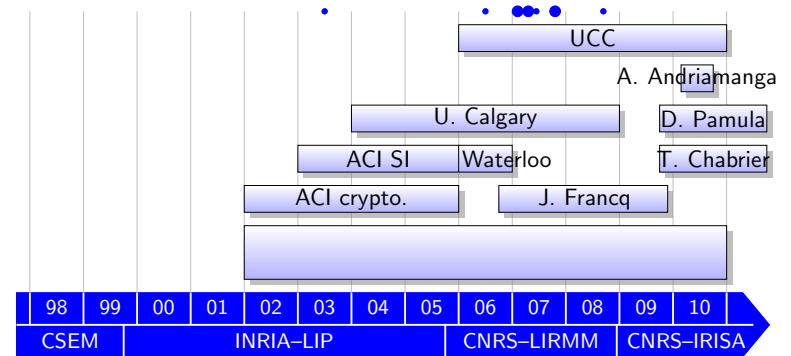
produit

```
Elliptic curve defined by y^2 = x^3 + 4*x + 20
P1 = (5 , 22) P2 = (16 , 27)
P1 + P2 = (13 , 6)
[2] P1 = (14 , 6)
```

Opérateurs arithmétiques sécurisés pour la cryptographie

Généralités :

- représentations des nombres et algorithmes arithmétiques efficaces
- représentations des nombres et algorithmes arithmétiques contre certaines attaques physiques
- développement coprocesseur ECC complet



Multiplication scalaire dans ECC

Opérandes : P un point de la courbe E , un entier $k = \sum_{i=0}^{n-1} k_i 2^i$

Résultat : le point $Q = [k]P = \underbrace{P + P + P + \dots + P}_{k \text{ fois}}$

Algorithme classique : doublement-et-addition

attaque SPA!!!

- 1 : $Q \leftarrow P$
- 2 : **for** i **from** $n-2$ **to** 0 **do**
- 3 : $Q \leftarrow 2P$
- 4 : **if** $k_i = 1$ **then** $Q \leftarrow Q + P$

Contre-mesures : recodages w -NAF ($n-1$ DBL et $\frac{n}{w+1}$ ADD)

$$k = 267 = \begin{pmatrix} 1 & 0 & 0 & 0 & 0 & 1 & 0 & 1 & 1 \end{pmatrix}_2$$

$$\begin{pmatrix} 1 & 0 & 0 & 0 & 1 & 0 & \bar{1} & 0 & \bar{1} \end{pmatrix}_{2\text{-NAF}}$$

$$\begin{pmatrix} 1 & 0 & 0 & 0 & 0 & 1 & 0 & 0 & 3 \end{pmatrix}_{3\text{-NAF}}$$

$$\begin{pmatrix} 1 & 0 & 0 & 0 & 1 & 0 & 0 & 0 & \bar{5} \end{pmatrix}_{4\text{-NAF}}$$

$$\begin{pmatrix} 1 & 0 & 0 & 0 & 0 & 0 & 0 & 0 & 11 \end{pmatrix}_{5\text{-NAF}}$$

Chaînes d'additions pour ECC

Implantation FPGA des chaînes d'additions proposées par Nicolas Méloni, collaboration UCC

Dans la multiplication scalaire $[k]P$, utiliser **uniquement des additions de points** de la courbe :

- robuste contre les attaques SPA
- $ADD(P_1, P_2) = (P_1 + P_2, P_1)$ avec P_1 et P_2 déjà calculés
- problème : trouver une petite chaîne

Exemple : chaînes d'additions pour $k = 113$

1	1	2	1	1	6	1	1	14	14	14	14	14	14	14	
1	2	3	5	6	7	13	14	15	29	43	57	71	85	99	113

1	1	1	1	4	5	5	14	14	19	47	
1	2	3	4	5	9	14	19	33	47	66	113

Recodage des nombres pour la sécurité : DBNS

DBNS : *Double-Base Number System*

$$x = \sum_{i=1}^n x_i 2^{a_i} 3^{b_i}, \text{ avec } x_i \in \{-1, 1\}, a_i, b_i \geq 0$$

Exemple : $127 = 108 + 16 + 3 = 72 + 54 + 1 = \dots$ (783 représentations)

	1	2	4	8	16
1					1
3	1				
9					
27			1		

	1	2	4	8
1	1			
3				
9				1
27		1		

Application : $k = 314159$, $[k]P =$

- $[2^4 3^9]P + [2^8 3^1]P - P$ 12 DBL + 10 TPL + 2 ADD
- $3(3(3(3^3([2^4 3^3]P - P) - P) - P) - P) - P$ 4 DBL + 9 TPL + 5 ADD

Source : L. Imbert

Codage des chiffres au niveau circuit

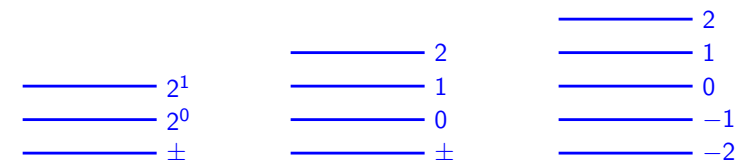
Codage classique pour un bit $b \in \{0, 1\}$:

- $1 \implies b = 1$
- $0 \implies b = 0$

Codage *double-rail* d'un bit $b \in \{0, 1\}$:

- $(r_1, r_0) = (1, 0) \implies b = 1$
- $(r_1, r_0) = (0, 1) \implies b = 0$

Codages en base 4 de chiffres de $\{-2, -1, 0, 1, 2\}$:



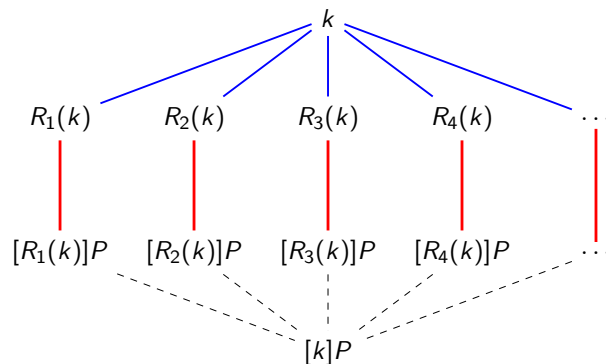
But : uniformisation du nombre de transitions (activité)

Surcoût : surface du circuit et éléments de mémorisation

Protection au niveau arithmétique

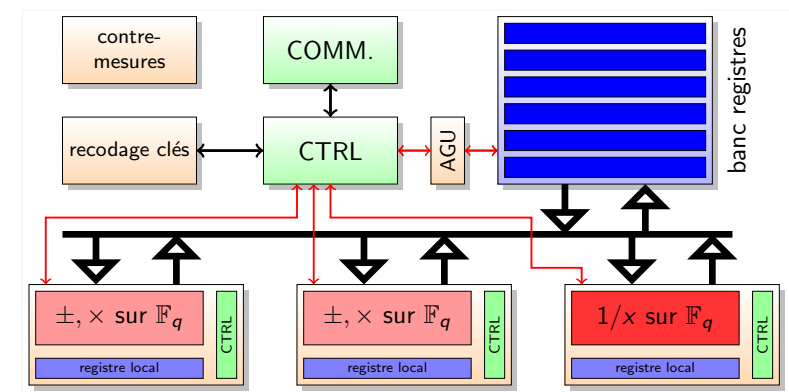
Un système redondant d'écriture des nombres, c'est :

- un moyen d'accélérer certaines opérations
- un moyen de **représenter une même valeur de différentes façons**



Proposition : utiliser des **représentations redondantes aléatoires** de k

Développement d'un coprocesseur ECC



- Unités fonct. : $\pm, \times, 1/x$ pour \mathbb{F}_p et \mathbb{F}_{2^m} , recodage clés
- Mémoire : banc registres global + registres internes unités
- Contrôle : opérations (niveaux E et \mathbb{F}_q), ordon., paramètres

Conclusion

Travaux en **arithmétique des ordinateurs** :

- **représentations** des nombres
- **algorithmes** de calcul
- **implantations** matérielles et logicielles
- **validation** *a priori* et *a posteriori*
- **modélisation** et **évaluation** des performances
- **outils** d'aide à la conception d'opérateurs arithmétiques

Des liens avec :

- la conception de circuits
- l'architecture des machines
- le développement d'outils logiciels
 - ▶ bibliothèques de calculs
 - ▶ outils de CAO de circuits

Perspectives

Futur proche :

- avancées sur le coprocesseur ECC
 - ▶ opérateurs sécurisés
 - ▶ prototype FPGA
 - ▶ version en logiciel libre
- arithmétique par estimation (collab. U. Adelaide)
- gestion de la précision dans les outils de CAO (biblio. System C)

Futur moins proche :

- comparaison de la consommation des méthodes d'approximation de fonctions (tables, polynômes, additions-décalages, hybrides)
- arithmétiques pour circuits asynchrones
- reprendre les travaux sur FPOP
- opérateurs tolérants aux pannes et la variabilité de certains paramètres

Fin, des questions ?

Contact:

- <mailto:arnaud.tisserand@irisa.fr>
- <http://www.irisa.fr/prive/Arnaud.Tisserand/>
- Equipe-projet CAIRN <http://www.irisa.fr/cairn/>
- Laboratoire IRISA, CNRS-INRIA-Univ. Rennes 1
6 rue Kérampont, BP 80518, F-22305 Lannion cedex, France

Merci